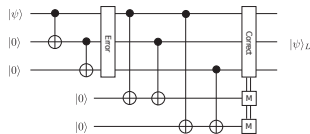


Quanten-Fehler-Korrektur

Hauptseminar *Physik des Quantencomputers*, SS 2013
Martin Koppenhöfer

Institut für Theoretische Festkörperphysik (TFP)

$$\mathcal{G} = \{K^i \in \mathcal{P}_N \mid \forall(i, j) : K^i |\psi\rangle_L = |\psi\rangle_L \wedge [K^i, K^j] = 0\}$$



$$K^i E |\psi\rangle_L = (-1)^m E K^i |\psi\rangle_L = (-1)^m E |\psi\rangle_L$$

Wozu Fehlerkorrektur?

Klassische Fehlerkorrektur

- Formalismus

- 3-Bit-Code (klassisch)

Quantenmechanische Fehlerkorrektur

- Grundlagen

- 3-Bit-Code (quantenmechanisch)

Stabilizer-Formalismus

- Grundlagen

- Generatoren der Stabilizer-Gruppe

Threshold-Theorem

- Implementierung von Quantenalgorithmien

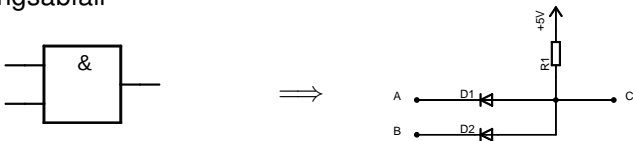
- Konkatenierte n -Qubit-Codes

- Bestimmung des threshold-value

Wozu Fehlerkorrektur?

Störeffekte in realen (Quanten)Computern:

■ Spannungsabfall



Vorbereitungshilfe P1-Versuch Schaltlogik.

■ Rauschen

$$S(\omega) = 2 \frac{\hbar\omega}{R} \coth \frac{\hbar\omega}{2kT}$$

■ Wechselwirkung mit der Umgebung (Relaxierung, Dephasierung)

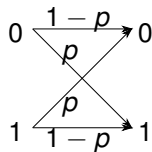
$$H_0 \longrightarrow H = H_0 + H_1$$

⇒ Fehler in der Datenverarbeitung

Klassische Fehlerkorrektur

Formalismus

Fehlermodell $\xrightarrow{\text{führt zu}}$ Codierung $\xrightarrow{\text{erlaubt}}$ Fehlerkorrektur



nach [KLM07], Fig. 10.1.

- Fehlermodell entwickeln
- Codierung führt Redundanzen ein:

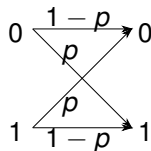
$$\begin{array}{ccccccc} \text{logisches Bit} & + & \text{Hilfsbits} & = & \text{codiertes Bit} \\ 1 & + & hh & \mapsto & 111 \end{array}$$

- Fehlerkorrektur ermittelt *error syndrome* und korrigiert Zustand.

Klassische Fehlerkorrektur

Formalismus

Fehlermodell $\xrightarrow{\text{führt zu}}$ Codierung $\xrightarrow{\text{erlaubt}}$ Fehlerkorrektur



nach [KLM07], Fig. 10.1.

- Fehlermodell entwickeln
- Codierung führt Redundanzen ein:

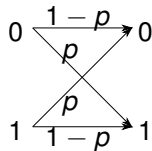
$$\begin{array}{rcccl} \text{logisches Bit} & + & \text{Hilfsbits} & = & \text{codiertes Bit} \\ 1 & + & hh & \mapsto & 111 \end{array}$$

- Fehlerkorrektur ermittelt *error syndrome* und korrigiert Zustand.

Klassische Fehlerkorrektur

Formalismus

Fehlermodell $\xrightarrow{\text{führt zu}}$ Codierung $\xrightarrow{\text{erlaubt}}$ Fehlerkorrektur



nach [KLM07], Fig. 10.1.

- Fehlermodell entwickeln
- Codierung führt Redundanzen ein:

$$\begin{array}{rcccl} \text{logisches Bit} & + & \text{Hilfsbits} & = & \text{codiertes Bit} \\ 1 & + & hh & \mapsto & 111 \end{array}$$

- Fehlerkorrektur ermittelt *error syndrome* und korrigiert Zustand.

Klassische Fehlerkorrektur

3-Bit-Code (klassisch)

- Bitwert in zwei Hilfsbits kopiert

$$0 \mapsto 000 \mapsto 000$$

$$1 \mapsto 100 \mapsto 111$$

- korrigiert *einen* Bit-Fehler
- *alle* möglichen Fehler:

$$000 \mapsto \left\{ \underbrace{000}_{(1-p)^3}, \underbrace{100, 010, 001}_{p(1-p)^2}, \underbrace{110, 101, 011}_{p^2(1-p)}, \underbrace{111}_{p^3} \right\}$$

- *error syndrome*: Vergleiche Bitwerte, abweichendes Bit fehlerhaft
- Wahrscheinlichkeit für nicht erkannten Fehler:

$$3 \cdot p^2(1-p) + p^3 \in \mathcal{O}(p^2) \quad (\text{mit 3-Bit-Code})$$

$$p \in \mathcal{O}(p) \quad (\text{ohne 3-Bit-Code})$$

Klassische Fehlerkorrektur

3-Bit-Code (klassisch)

- Bitwert in zwei Hilfsbits kopiert

$$0 \mapsto 000 \mapsto 000$$

$$1 \mapsto 100 \mapsto 111$$

- korrigiert *einen* Bit-Fehler

- *alle* möglichen Fehler:

$$000 \mapsto \left\{ \underbrace{000}_{(1-p)^3}, \underbrace{100, 010, 001}_{p(1-p)^2}, \underbrace{110, 101, 011}_{p^2(1-p)}, \underbrace{111}_{p^3} \right\}$$

- *error syndrome*: Vergleiche Bitwerte, abweichendes Bit fehlerhaft

- Wahrscheinlichkeit für nicht erkannten Fehler:

$$3 \cdot p^2(1-p) + p^3 \in \mathcal{O}(p^2) \quad (\text{mit 3-Bit-Code})$$

$$p \in \mathcal{O}(p) \quad (\text{ohne 3-Bit-Code})$$

Klassische Fehlerkorrektur

3-Bit-Code (klassisch)

- Bitwert in zwei Hilfsbits kopiert

$$0 \mapsto 000 \mapsto 000$$

$$1 \mapsto 100 \mapsto 111$$

- korrigiert *einen* Bit-Fehler

- *alle* möglichen Fehler:

$$000 \mapsto \left\{ \underbrace{000}_{(1-p)^3}, \underbrace{100, 010, 001}_{p(1-p)^2}, \underbrace{110, 101, 011}_{p^2(1-p)}, \underbrace{111}_{p^3} \right\}$$

- *error syndrome*: Vergleiche Bitwerte, abweichendes Bit fehlerhaft

- Wahrscheinlichkeit für nicht erkannten Fehler:

$$3 \cdot p^2(1-p) + p^3 \in \mathcal{O}(p^2) \quad (\text{mit 3-Bit-Code})$$

$$p \in \mathcal{O}(p) \quad (\text{ohne 3-Bit-Code})$$

Klassische Fehlerkorrektur

3-Bit-Code (klassisch)

- Bitwert in zwei Hilfsbits kopiert

$$0 \mapsto 000 \mapsto 000$$

$$1 \mapsto 100 \mapsto 111$$

- korrigiert *einen* Bit-Fehler

- *alle* möglichen Fehler:

$$000 \mapsto \left\{ \underbrace{000}_{(1-p)^3}, \underbrace{100, 010, 001}_{p(1-p)^2}, \underbrace{110, 101, 011}_{p^2(1-p)}, \underbrace{111}_{p^3} \right\}$$

- *error syndrome*: Vergleiche Bitwerte, abweichendes Bit fehlerhaft

- Wahrscheinlichkeit für nicht erkannten Fehler:

$$3 \cdot p^2(1-p) + p^3 \in \mathcal{O}(p^2) \quad (\text{mit 3-Bit-Code})$$

$$p \in \mathcal{O}(p) \quad (\text{ohne 3-Bit-Code})$$

Klassische Fehlerkorrektur

3-Bit-Code (klassisch)

- Bitwert in zwei Hilfsbits **kopiert**

$$0 \mapsto 000 \mapsto 000$$

$$1 \mapsto 100 \mapsto 111$$

- korrigiert *einen* Bit-Fehler

- *alle* möglichen Fehler:

$$000 \mapsto \left\{ \underbrace{000}_{(1-p)^3}, \underbrace{100, 010, 001}_{p(1-p)^2}, \underbrace{110, 101, 011}_{p^2(1-p)}, \underbrace{111}_{p^3} \right\}$$

- *error syndrome*: **Vergleiche** Bitwerte, abweichendes Bit fehlerhaft

- Wahrscheinlichkeit für nicht korrigierbaren Fehler:

$$3 \cdot p^2(1-p) + p^3 = \mathcal{O}(p^2) \quad (\text{mit 3-Bit-Code})$$

$$p = \mathcal{O}(p) \quad (\text{ohne 3-Bit-Code})$$

Quantenmechanische Fehlerkorrektur

Grundlagen: Unterschiede zur klassischen Fehlerkorrektur

- Messung des codierten Bits nicht erlaubt

$$|\psi\rangle = \alpha |0\rangle + \beta |1\rangle$$

- *no cloning*-Theorem

$$|\psi\rangle \not\rightarrow |\psi\rangle \otimes |\psi\rangle$$

- Bit-Flip *und* Phasenfehler möglich
- Fehler sind kontinuierlich

$$E = \exp(i\epsilon\sigma_x) = \cos(\epsilon)I + i \sin(\epsilon)\sigma_x$$

Quantenmechanische Fehlerkorrektur

Grundlagen: Unterschiede zur klassischen Fehlerkorrektur

- Messung des codierten Bits nicht erlaubt

$$|\psi\rangle = \alpha |0\rangle + \beta |1\rangle$$

- *no cloning*-Theorem

$$|\psi\rangle \not\rightarrow |\psi\rangle \otimes |\psi\rangle$$

- Bit-Flip *und* Phasenfehler möglich
- Fehler sind kontinuierlich

$$E = \exp(i\epsilon\sigma_x) = \cos(\epsilon)I + i \sin(\epsilon)\sigma_x$$

Fehlerfunktion wirkt auf *einzelnem* Qubit, d.h.:

■ Fehler = 2×2 -Matrix

■ Basis $\{I, \sigma_x, \sigma_y, \sigma_z\}$

$$X = \begin{pmatrix} 0 & 1 \\ 1 & 0 \end{pmatrix}$$

$$X|0\rangle = |1\rangle \quad (\text{Bit-Flip})$$

$$X|1\rangle = |0\rangle$$

$$Z = \begin{pmatrix} 1 & 0 \\ 0 & -1 \end{pmatrix}$$

$$Z|0\rangle = |0\rangle \quad (\text{Phase-Flip})$$

$$Z|1\rangle = -|1\rangle$$

$$iY = iXZ = \begin{pmatrix} 0 & -i \\ i & 0 \end{pmatrix}$$

■ *vollständige* Quantencodes: simultane Korrektur von X und Z -Fehlern

Fehlerfunktion wirkt auf *einzelnem* Qubit, d.h.:

■ Fehler = 2×2 -Matrix

■ Basis $\{I, \sigma_x, \sigma_y, \sigma_z\}$

$$X = \begin{pmatrix} 0 & 1 \\ 1 & 0 \end{pmatrix}$$

$$X |0\rangle = |1\rangle \quad (\text{Bit-Flip})$$

$$X |1\rangle = |0\rangle$$

$$Z = \begin{pmatrix} 1 & 0 \\ 0 & -1 \end{pmatrix}$$

$$Z |0\rangle = |0\rangle \quad (\text{Phase-Flip})$$

$$Z |1\rangle = -|1\rangle$$

$$iY = iXZ = \begin{pmatrix} 0 & -i \\ i & 0 \end{pmatrix}$$

■ *vollständige* Quantencodes: simultane Korrektur von X und Z -Fehlern

Fehlerfunktion wirkt auf *einzelnem* Qubit, d.h.:

- Fehler = 2×2 -Matrix
- Basis $\{I, \sigma_x, \sigma_y, \sigma_z\}$

$$X = \begin{pmatrix} 0 & 1 \\ 1 & 0 \end{pmatrix}$$

$$X |0\rangle = |1\rangle \quad (\text{Bit-Flip})$$

$$X |1\rangle = |0\rangle$$

$$Z = \begin{pmatrix} 1 & 0 \\ 0 & -1 \end{pmatrix}$$

$$Z |0\rangle = |0\rangle \quad (\text{Phase-Flip})$$

$$Z |1\rangle = -|1\rangle$$

$$iY = iXZ = \begin{pmatrix} 0 & -i \\ i & 0 \end{pmatrix}$$

- *vollständige* Quantencodes: simultane Korrektur von X und Z -Fehlern

Fehlerfunktion wirkt auf *einzelnem* Qubit, d.h.:

- Fehler = 2×2 -Matrix

- Basis $\{I, \sigma_x, \sigma_y, \sigma_z\}$

$$X = \begin{pmatrix} 0 & 1 \\ 1 & 0 \end{pmatrix}$$

$$X |0\rangle = |1\rangle \quad (\text{Bit-Flip})$$

$$X |1\rangle = |0\rangle$$

$$Z = \begin{pmatrix} 1 & 0 \\ 0 & -1 \end{pmatrix}$$

$$Z |0\rangle = |0\rangle \quad (\text{Phase-Flip})$$

$$Z |1\rangle = -|1\rangle$$

$$iY = iXZ = \begin{pmatrix} 0 & -i \\ i & 0 \end{pmatrix}$$

- *vollständige* Quantencodes: simultane Korrektur von X und Z -Fehlern

Quantenmechanische Fehlerkorrektur

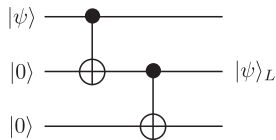
3-Bit-Code (quantenmechanisch)

- kein vollständiger Quantencode

- Codierung:

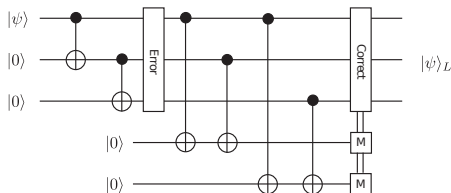
$$|0\rangle \mapsto |0\rangle_L = |0\rangle \otimes |0\rangle \otimes |0\rangle \equiv |000\rangle$$

$$|1\rangle \mapsto |1\rangle_L = |1\rangle \otimes |1\rangle \otimes |1\rangle \equiv |111\rangle$$



[DN11], Fig. 2.

- X error syndrome*: Parität der Bit-Paare vergleichen



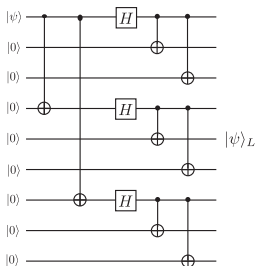
[DN11], Fig. 3.

Quantenmechanische Fehlerkorrektur

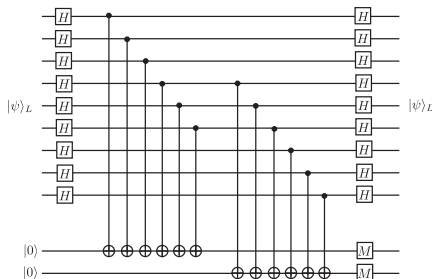
9-Qubit-Code (Shor-Code)

$$|0\rangle_L = \frac{1}{\sqrt{8}} (|000\rangle + |111\rangle) \otimes (|000\rangle + |111\rangle) \otimes (|000\rangle + |111\rangle)$$

$$|1\rangle_L = \frac{1}{\sqrt{8}} (|000\rangle - |111\rangle) \otimes (|000\rangle - |111\rangle) \otimes (|000\rangle - |111\rangle)$$



Codierung. [DN11], Fig. 4.



Korrektur von Z-Fehlern. [DN11], Fig. 5.

- Allgemeine Beschreibung der meisten Quanten-Fehler-Codes
- Konstruktionsregeln für Codierungs-, Korrektur- und Rechengatter, z.B:

$$|0\rangle_L = \prod_{i=1}^{N-1} (I^{\otimes N} + K^i) |0\rangle^{\otimes N}$$

Idee:

- N Qubits $\Rightarrow \dim(\mathcal{H}) = 2^N$
- Wähle 2-dimensionalen Unterraum als logisches Qubit: $|0\rangle_L, |1\rangle_L$
- Fehler bringen $|0\rangle_L, |1\rangle_L$ in dazu orthogonale Unterräume

- Pauli-Gruppe (alle Elemente kommutieren oder antikommutieren):

$$\mathcal{P} = \{\pm I, \pm iI, \pm X, \pm iX, \pm Y, \pm iY, \pm Z, \pm iZ\}$$
$$\mathcal{P}_N = \mathcal{P}^{\otimes N}$$

- Generatoren-Gruppe mit $N - 1$ Elementen:

$$\mathcal{G} = \left\{ K^i \in \mathcal{P}_N \mid \forall (i, j) : K^i |\psi\rangle_L = |\psi\rangle_L \wedge [K^i, K^j] = 0 \right\}$$

- Fehler $E \in \mathcal{P}_N$ kommutieren oder antikommutieren mit K^i

$$K^i E |\psi\rangle_L = (-1)^m E K^i |\psi\rangle_L = (-1)^m E |\psi\rangle_L$$
$$m = \begin{cases} 0 & [E, K^i] = 0 \\ 1 & \{E, K^i\} = 0 \end{cases}$$

Stabilizer-Formalismus

Stabilizer des 5-Bit-Codes

Fehler	$K^1(XZZXI)$	$K^2(IXZZX)$	$K^3(XIXZZ)$	$K^4(ZXIXZ)$
<i>XIII</i>	1	1	1	-1
<i>IXII</i>	-1	1	1	1
<i>IIXI</i>	-1	-1	1	1
<i>IIIX</i>	1	-1	-1	1
<i>IIIX</i>	1	1	-1	-1
<i>ZIII</i>	-1	1	-1	1
<i>IZII</i>	1	-1	1	-1
<i>IIZI</i>	1	1	-1	1
<i>IIZI</i>	-1	1	1	-1
<i>IIIZ</i>	1	-1	1	1
<i>IIII</i>	1	1	1	1

Threshold-Theorem

Implementierung von Quantenalgorithmen

- Einzelnes Qubit: Fehlerwahrscheinlichkeit ϵ
 - Quantenalgorithmus mit N Rechenschritten
 - Falsches Ergebnis höchstens mit Wahrscheinlichkeit ϵ_{erg}
- ⇒ Fehlerwahrscheinlichkeit p pro Rechenschritt:

$$p \leq \frac{\epsilon_{\text{erg}}}{N}$$

Ansatz: n -Qubit-Code, der t Fehler korrigieren kann

$$p \propto (t^b \epsilon)^{t+1} \quad (b \approx 3)$$

Threshold-Theorem

Implementierung von Quantenalgorithmen

- Einzelnes Qubit: Fehlerwahrscheinlichkeit ϵ
 - Quantenalgorithmus mit N Rechenschritten
 - Falsches Ergebnis höchstens mit Wahrscheinlichkeit ϵ_{erg}
- ⇒ Fehlerwahrscheinlichkeit p pro Rechenschritt:

$$p \leq \frac{\epsilon_{\text{erg}}}{N}$$

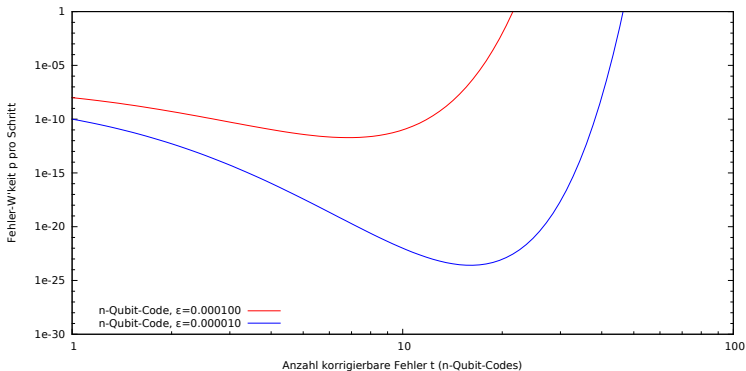
Ansatz: n -Qubit-Code, der t Fehler korrigieren kann

$$p \propto \left(t^b \epsilon \right)^{t+1} \quad (b \approx 3)$$

Threshold-Theorem

Problem der n -Qubit-Codes

$$p \propto (t^b \epsilon)^{t+1} \quad \xrightarrow{t \gg 1} \quad p_{\min} \approx \exp\left(-\frac{b}{e \cdot \sqrt[t]{\epsilon}}\right)$$



Threshold-Theorem

Konkatenierte n -Qubit-Codes

- Stelle jedes Qubit im n -Qubit-Code durch einen n -Qubit-Code dar
- Pro Ebene selbstähnliche Fehlerkorrektur (korrigiert $t = 1$ Fehler)

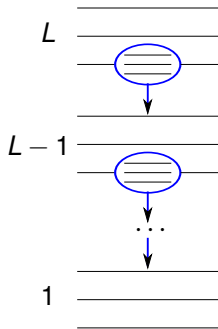
$$p^{(1)} = c \cdot \epsilon^2$$

$$p^{(2)} = c(p^{(1)})^2 = \frac{(c \cdot \epsilon)^4}{c}$$

$$\vdots$$

$$p^{(L)} = \frac{(c \cdot \epsilon)^{2^L}}{c}$$

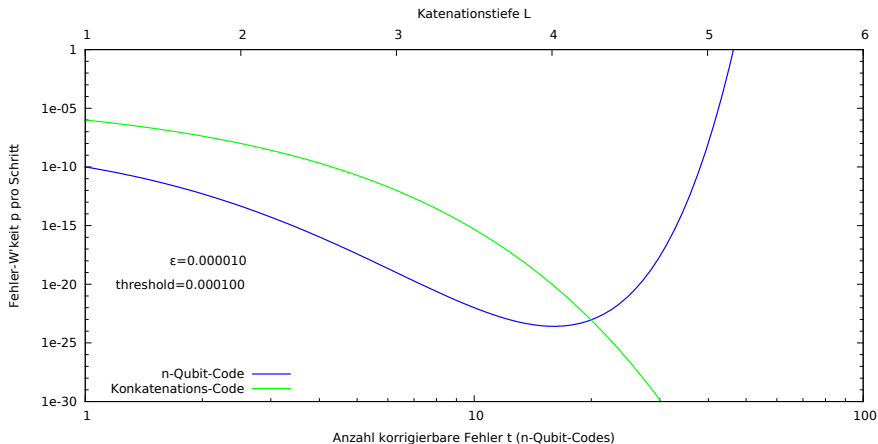
- Falls $\epsilon < \frac{1}{c} \equiv p_{\text{threshold}}$: $\lim_{L \rightarrow \infty} p^{(L)} = 0$



nach [Pre98], Fig. 13.

Threshold-Theorem

Konkatenierte n -Qubit-Codes



Threshold-Theorem

Bestimmung des threshold-value

Aufstellung von Flussgleichungen basierend auf:

- Algorithmus
- Fehlermodell
- Fehlerfortpflanzung in Gattern
- Quantencode

Näherungsweise Lösung für Shor-Algorithmus:

$$p_{\text{threshold}} \approx \begin{cases} 10^{-4} & \text{ohne Speicherfehler} \\ 10^{-5} & \text{mit Speicherfehlern} \end{cases}$$

Wozu Fehlerkorrektur?

Klassische Fehlerkorrektur

- Formalismus

- 3-Bit-Code (klassisch)

Quantenmechanische Fehlerkorrektur

- Grundlagen

- 3-Bit-Code (quantenmechanisch)

Stabilizer-Formalismus

- Grundlagen

- Generatoren der Stabilizer-Gruppe

Threshold-Theorem

- Implementierung von Quantenalgorithmien

- Konkatenierte n -Qubit-Codes

- Bestimmung des threshold-value



Simon Devitt and Kae Nemoto.
Quantum Error Correction for Beginners.
arXiv:quant-ph/09052794v3, 2011.



Phillip Kaye, Raymond Laflamme, and Michele Mosca.
An introduction to quantum computing.
Oxford University Press, Oxford [u.a.], 1. publ. edition, 2007.



John Preskill.
Reliable quantum computers.
Proc.Roy.Soc.Lond., A454:385–410, 1998.